

Referências Bibliográficas

- Abade, G. C., Cunha, F. R., 2007, *Computer simulation of particle aggregates during sedimentation*, Computers Methods in Applied Mechanics and Engineering, doi: 10.1016/j.cma.2007.05.022.
- Abramovitz, M., Stegun, I. A., 1964, *Handbook of mathematical functions*, Hardcover, ed. 10.
- Adam, N. K., 1968, *The physics and chemistry of surfaces*, Dover Publications, INC. New York.
- Aris, R., 1962, *Vectors, tensor, and the basic equations of fluid mechanics*, Dover Publications, INC. New York.
- Barnes, H.A., Hutton, J.F., Walters, K.F.R.S., 1989, *An introduction to Rheology*, Elsevier Science Publishers.
- Barthès-Biesel, D., Acrivos, A., 1973, *Deformation and burst of a liquid droplet freely suspended in a linear field*, Journal of Fluid Mechanics **61**, 1.
- Batchelor G. K., 1967, *An introduction to fluid dynamics*, Cambridge University Press, ed. 3.
- Batchelor G. K., 1970, *Stress system in a suspension of force-free particles*, Journal of Fluid Mechanics **41**, 545.
- Batchelor G. K., Green, J. T., 1972, *Hydrodynamic interaction of two small freely-moving spheres in a linear flow field*, Journal of Fluid Mechanics **56**, 401.
- Bazhlekov, I. B., Anderson, P. D., Meijer, H. E. H., 2004, *Nonsingular boundary integral method for deformable drops in viscous flows*, Physics of Fluids, v.16, number 4, pp. 1064-1081.
- Bentley, B. J., Leal, L. G., 1986, *An experimental investigation of drop deformation and breakup in steady two-dimensional linear flows*, Journal of Fluid Mechanics, v.167, pp. 241-283.
- Bird, R. B., Armstrong, R. C., Hassaer, O., 1987, *Dynamic of polymeric liquids*, vol. 1,2, Wiley.

- Boice, W. E., DiPrima, R. C., 1997, *Equações diferenciais elementares e problemas de valor de contorno*, Wiley.
- Butcher, J. C., 1987, *The numerical analysis of ordinary differential equations: Runge-Kutta and general linear methods*, John Wiley & Sons Inc.
- Chang, K. S., Olbricht, W. L., 1993^a, *Experimental studies of the deformation and breakup of a synthetic capsule in steady and unsteady simple shear flow*, Journal of Fluid Mechanics **250**, 609.
- Chang, K. S., Olbricht, W. L., 1993^b, *Experimental studies of the deformation and breakup of a synthetic capsule in steady and unsteady simple shear flow*, Journal of Fluid Mechanics **250**, 609.
- Childress, S., 1981, *Mechanics of swimming and flying*, Cambridge University Press, Cambrigde.
- Couto, H. L. G., Cunha, F. R., 2004, *Fundamentos da mecânica de suspensões coloidais e não-coloidais*, Relatório de projeto de graduação, Departamento de Engenharia Mecânica - Universidade de Brasília, **1**, 122p.
- Cristini, V., Blawzdziewicz, J., Loewenberg, M., 2001, *An Adaptive Mesh Algorithm for Evolving Surfaces: Simulations of Drop Breakup and Coalescence*, Journal of Computational Physics **168**, 445-463.
- Cunha, F. R., 1995, *Hydrodynamic dispertion in suspensions*, Tese de doutorado, Department of Applied Mathematics and Theoretical Physics, University of Cambridge.
- Cunha, F. R., Hinch, E. J., 1996, *Shear-induced dispersion in a dilute suspension of rough spheres*, Journal of Fluid Mechanics **309**, 211.
- Cunha, F. R., Loewenberg, M., 2003^a, *A study of emulsion expansion by a boundary integral method*, Mechanics Research Communications, **30**, 639.
- Cunha, F. R., Sousa, A. J., Loewenberg, M., 2003^b, *A mathematical formulation of the boundary integral equations for a compressible stokes flow*, Computational and Applied Mathematics **22**, 53.
- Cunha, F. R., Almeida, M. H. P., Loewenberg, M., 2003^c, *Direct numerical simulations of emulsion flows*, Journal of the Braz. Soc.of Mech. Sci & Eng. **XXV**, No.1, 31.
- Cunha, F. R., 2003^d, *Notas do curso de “Microhidrodinâmica em baixos números de Reynolds”*, Pós-Graduação em Ciências Mecânicas, Depto. de Eng. Mecânica, Universidade de Brasília.

- Cunha, F. R., 2003^e, *Notas do curso de “Métodos de perturbação em fluidos”*, Pós-Graduação em Ciências Mecânicas, Depto. de Eng. Mecânica, Universidade de Brasília.
- Cunha, F. R., Sobral, Y. D., 2004, *Characterization of the Physical Parameters in a Process of Magnetic Separation and Pressure Driven Flows of a Magnetic Fluid in a Cylindrical Tube*, Physica A, Elsevier, 343C p. 36-64.
- Cunha, F. R., Couto, H. L. G., Oliveira, T. F., 2007, *On the application of a three-dimensional boundary integral method to compute distortions of magnetic drops*, 11th Conference of Magnetic Fluids, Kosice-Slovenia, p.1-8.
- Davis, R. H., 1996, *Hydrodynamic diffusion of suspended particles: a symposium*, Journal of Fluid Mechanics **310**, 325.
- Einstein A., 1906, *Eine neue bestimmung der moleküledimensionen*, Ann. Physik **19**, 289.
- Einstein A., 1956, *Brownian movement*, Dover Publications, New York.
- Evans, L. C., 1998, *Partial differential equations*, Graduate Studies in Mathematics, vol. 19.
- Frankel, N. A., Acrivos, A., 1970, *The constitutive equation for a dilute emulsion*, Journal of Fluid Mechanics **44**, 65.
- Goldstein, H., Poole, C., Safko, J., 2002 *Classical Mechanics*, Addison Wesley, 3 ed.
- Guido, S., Simeone, M., 1998, *Binary collision of drops in simple shear flow by computer-assisted video optical microscopy*, Journal of Fluid Mechanics **357**, 1.
- Hakimi, F. S., Schowalter, R., 1980, *The effects of shear and vorticity on deformation of a drop*, Journal of Fluid Mechanics **98**, part 3, 635.
- Happel, J., Brenner, H., 1991, *Low Reynolds number hydrodynamics*, ed.15, Kluwer Academic Publishes.
- Hinch, E. J., 1991, *Perturbation methods*, ed.3, Cambridge University Press, Cambridge.
- Ifeachor, C. E., Jearvis, B. W., 1993, *Digital signal processing*, ed. 2, Addison-Wesley, United-States.

- IMSL, Inc., 1997, *IMSLF 90 reference manual*, Visual Numerics, Inc., Houston, Texas, USA.
- Jeffreys, H., Jeffreys, B., 1946, *Methods of mathematical physics*, ed. 13, Cambridge Universihty Press, Cambridge.
- Karnis, A., Mason,S. G., 1967, *Particle motions in sheared suspensions XXIII. Wall migration of fluid drops* , Journal of Colloid and Interface Science **24**, 164.
- Kennedy, M. R., Pozrikidis, C., Skalak, R., 1994, *Motion and deformation of liquids drops and the rheology of dilute emulsions in simple shear flow* , Computers and Fluids, **23**, n° 2, pp. 251-278.
- Kim, S., Karrila, S. J., 1991, *Microhydrodynamics: principles and selected applications*, Butterworth - Heinemann.
- Kreyszig, 1999, *Advanced engineering mathematics*, ed. 8, John Wiley & Sons, INC.
- Ladyzheskaya, O. A., 1969, *The mathematical theory of viscous incompressible flow* , Gordon & Breach, New York.
- Lai, W. M., Rubin, D., Krempl, E., 1974, *Introtuction to continuum mechanics* , ed. 1, Pergamon Press Inc., Great Britain
- Lamb, H., 1932, *Hydrodynamics*, ed.6, Cambridge University Press.
- Lavrenteva, O. M., Nir, A., 2003, *Axisymmetric thermal wake interaction of two drops in a gravity field at low Reynolds and high Peclet numbers*, Physics of Fluids, **15**, number 10, 3006.
- Leal, L. G., 1992, *Laminar flow and convective transport processes, scaling principles and asymptotic analysis*, Butterworth-Heinemann.
- Leighton, D., Acrivos, A., 1987^a, *The shear-induced migration of particles in concentrated suspensions*, Journal Fluid Mechanics **181**, 415.
- Leighton, D., Acrivos, A., 1987^b, *Measurement of shear-induced self-diffusion in concentrated suspensions of spheres*, Journal Fluid Mechanics **177**, 109.
- Li, X.Z., Barthés-Biesel, D., Helmy, A., 1988, *Large deformation and burst of a capsule freely suspended in an elongational flow*, Journal Fluid Mechanics **187**, 179-196.
- Lighthill, M. J., 1958, *An introduction to Fourier analysis and generalised functions*, ed. 8, Cambridge University Press, Cambridge.

- Lima, E. L., 1996, *Álgebra Linear*, ed. 5, Associação Instituto Nacional de Matemática Pura e Aplicada - IMPA, Rio de Janeiro, RJ
- Loewenberg, M., Hinch, E. J., 1996, *Numerical simulations of a concentrated emulsion in shear flow*, Journal Fluid Mechanics **321**, 395.
- Loewenberg, M., Hinch, E. J., 1996^b, *Collisions of two deformable drops in shear flow*, Journal Fluid Mechanics, **338**, 299.
- Maffettone, P.L., Minale, M., 1998, *Equation of change for ellipsoidal drops in viscous flow*, Journal of Non-Newtonian Fluid Mechanics, **78**, 227.
- Mason, T. G., Weitz, D. A., 1995, *Optical measurements of frequency-dependent linear viscoelastic moduli of complex fluids*, Physical Review Letters **74**, number 7, 1250.
- Mason, T. G., Bibette, J., Weitz, D. A., 1995, *Elasticity of compressed emulsions*, Physical Review Letters **75**, number 10, 2051.
- Mason, T. G., Bibette, J., 1996, *Emulsification in viscoelastic media*, Physical Review Letters **77**, number 16, 3481.
- Mason, T. G., Lacasse, M. D., Grest, G. S., Lavine, D., Bibette, J., Weitz, D. A., 1997, *Osmotic pressure and viscoelastic shear moduli of concentrated emulsions*, Physical Review E **53**, number 3, 3150.
- Mishra, V., Kresta, S. M., Masliyah, J. H., 1998, *Self-Preservation of the Drop Size Distribution Function and Variation in the Stability Ratio for Rapid Coalescence of a Polydisperse Emulsion in a Simple Shear Field*, Journal of Colloid and Interface Science **197**, 57-67
- Mokhtarian, F., Khalili, N., Yuen, P., 2001, *Curvature computation on free-form 3-D meshes at multiple scales*, Computer Vision and Image Understanding, **83**, 118.
- Oliveira, T. F., Couto, H. L. G., Cunha, F. R., 2005, *A theoretical study of an emulsion of high viscosity drops under shear*, 18th International Congress Of Mechanical Engineering - COBEM 2005, Ouro Preto - MG, Brazil.
- Oliveira, T. F., Carvalho, J. A. A., Cunha, F. R., 2006, *Pressure-driven flow of a high viscosity emulsion in a cylindrical tube*, 3th Annual European Rheology Conference - AERC2006, Crete/Athens.
- Oliveira, T. F., Cunha, F. R., Couto, H. L. G., 2007^a, *On the mechanics of high viscosity dilute emulsions*, in preparation.

- Oliveira, T. F., Cunha, F. R., Couto, H. L. G., 2007^b, *Boundary Integral Numerical simulation of a non-linear viscoelasticity in polydisperse emulsion of high viscosity drops*, in preparation.
- Pozrikidis, C., 1992, *Boundary integral and singularity methods for linearized viscous flow*, Cambridge University Press.
- Pozrikidis, C., 1993, *On the transient motion of ordered suspensions of liquid drops*, Journal Fluid Mechanics **246**, 301.
- Press, W. H., Teukolsky, S. A., Vetterling, W. T., Flannery, B. P., 1992, *Numerical recipies in C, the art of scientific computing*, Cambridge University Press, ed.2.
- Princen, H. M., Kiss, A. D., 1989, *Rheology of foams and highly concentrated emulsions: IV. An experimental study of the shear viscosity and yield stress of concentrated emulsions*, Journal of Colloid and Interface Science **128**, 176.
- Rallison, J. M., Acrivos, A., 1978, *A numerical study of the deformation and burst of a viscous drop in an extensional flow*, Journal Fluid Mechanics **89**, 191.
- Rallison, J. M., 1980, *Note on the time dependent deformation of a viscous drop which is almost spherical*, Journal Fluid Mechanics **98**, 625.
- Rallison, J. M., 1981, *A numerical study of the deformation and burst of a viscous drop in general shear flows*, Journal Fluid Mechanics **109**, 465.
- Rallison, J. M., 1984, *The deformation of small viscous drops an bubbles in shear flows*, Ann. Rev. Fluid Mechanics **16**, 45.
- Schowalter, W. R., 1978, *Mechanics of Non-Newtonian Fluids*, Pergamon Press Inc, 1 ed.
- Schowalter, W. R., Chaffey, C. E., Brenner, H., 1968, *Rheological behavios of a dilute emulsion*, Journal of Colloid and Interface Science **26**, 152.
- Sherwood, J.D., 1988, *Breakup of fluid droplets in eletric and magnetic fileds*, Journal Fluid Mechanics **188**, 133-146.
- Slattery, J. C., 1972, *Momentum, energy and mass tranfer in continua*, McGraw-Hill Book Company, United States.
- Stone, H. A., Leal, L. G., 1990, *The effects of surfactants on drop deformation and breackup*, Journal Fluid Mechanics **220**, 161.

- Stone, H. A., 1994, *Dynamics of drop deformation and breakup in viscous fluids*, Ann. Rev. Fluid Mechanics **26**, 65.
- Tanzosh, J., Manga, M., Stone, H. A., *Boundary integral methods for viscous free-boundary problems: Deformation of single and multiple fluid-fluid interfaces*, BETECH 92 conference, Albuquerque, New Mexico, 1992
- Taylor, G. I., 1932, *The viscosity of a fluid containing small drops of another fluid*, Proc. R. Soc. London Ser. A, **138**, 41.
- Taylor, G. I., 1934, *The formation of emulsions in definable fields of flow*, Proc. R. Soc. London Ser. A, **146**, 501.
- Torza, S., Cox, R. G., Mason, S. G., 1972, *Particle motion in sheared suspensions*, Journal of Colloid and Interface Science **38**, 395-411.
- Truesdell, C., Noll, W., 1965, *Handbuch der Physik*, vol.3/3, Springer-Verlag, Berlin.
- Van Dyke, M. D., 1975, *Perturbation methods in fluid mechanics*, Parabolic Press, Stanford, California, 271.p.
- Wilkinson, J. H., 1965, *The Algebraic Eigenvalue Problem*, Oxford Science Publications.
- Yiantzios, S. G., Davis, R. H., 1991, *Close approach and deformation of two viscous drops due to gravity and Van der Waals forces*, Journal of Colloid and Interface Science **144**(2), 412.
- Youngren, G. K., Acrivos, A., 1975, *Stokes flow past a particle of arbitrary shape: a numerical method of solution*, Journal of Fluid Mechanics **69**, 377.
- Zinchenko, A. Z., Rother, M. A., Davis, R. H., 1997, *A novel boundary-integral algorithm for viscous interaction of deformable drops*, Physics of Fluids, v.9, number 6, pp. 1493-1511.
- Zhou, H., Pozrikidis, C., 1993, *The flow of ordered and random suspensions of two-dimensional drops in channel*, Journal of Fluid Mechanics **225**, 103.

A

Demonstrações adicionais

A.1

Teorema de dissipação mínima - complemento

Sejam dois escoamentos (\mathbf{u}, p) e (\mathbf{u}', p') incompressíveis e que satisfazem as condições de contorno em um certo domínio V , delimitado pela superfície S . O escoamento (\mathbf{u}, p) satisfaz as equações de Stokes, mas (\mathbf{u}', p') não necessariamente. Nesse caso, temos que

$$\chi = \int_V 2\mu(\mathbf{E}' - \mathbf{E}) : \mathbf{E} dV = \int_V 2\mu \mathbf{E}^d : \mathbf{E} dV = \int_V 2\mu \nabla \mathbf{u}^d : \mathbf{E} dV, \quad (\text{A-1})$$

em que $\mathbf{E}' = 1/2[\nabla \mathbf{u}' + (\nabla \mathbf{u}')^T]$ e $\mathbf{E}^d = \mathbf{E}' - \mathbf{E}$. Sendo $\mathbf{E} : \nabla \mathbf{u}^d = \nabla \cdot (\mathbf{E} \cdot \mathbf{u}^d) - (\nabla \cdot \mathbf{E}) \cdot \mathbf{u}^d$, em que $\mathbf{u}^d = \mathbf{u}' - \mathbf{u}$ e $2\mu \nabla \cdot \mathbf{E} = \mu \nabla^2 \mathbf{u} = \nabla p$, desde que $\nabla \cdot \mathbf{E} = (1/2)\nabla^2 \mathbf{u}$ e (\mathbf{u}, p) satisfazem as equações de Stokes, então (A-1) fica

$$\chi = 2\mu \int_V \nabla \cdot (\mathbf{E} \cdot \mathbf{u}^d) dV - \int_V \nabla p \cdot \mathbf{u}^d dV. \quad (\text{A-2})$$

Como $\nabla \cdot \mathbf{u}^d = 0$ então $\nabla p \cdot \mathbf{u}^d = \nabla \cdot (p \mathbf{u}^d)$. Agora, usando o teorema da divergência obtemos

$$\chi = 2\mu \int_S \mathbf{E} \cdot \mathbf{u}^d \cdot \mathbf{n} dS - \int_S p \mathbf{u}^d \cdot \mathbf{n} dS = 0, \quad (\text{A-3})$$

desde que $\mathbf{u}^d(\mathbf{x}) = 0$, $\forall \mathbf{x} \in S$ já que ambos os escoamentos satisfazem as condições de contorno.

Por incluir.

A.2

Representação integral do escoamento de Stokes

Considere o teorema recíproco com o par de escoamentos $(\mathbf{u}, \boldsymbol{\sigma}, \mathbf{0})$ e $(\mathbf{u}', \boldsymbol{\sigma}', \mathbf{f}')$. O primeiro escoamento é livre de forças de campo, de tal forma

que (2-31) fica $\nabla \cdot (\boldsymbol{\sigma} \cdot \mathbf{u}' - \boldsymbol{\sigma}' \cdot \mathbf{u}) = \mathbf{f}' \cdot \mathbf{u}$. Considerando agora que o segundo escoamento é produzido por um monópole com intensidade \mathbf{F} na posição \mathbf{x}_o tal que $\mathbf{f}' = -\nabla \cdot \boldsymbol{\sigma}' = -\mathbf{F}\delta(\mathbf{x} - \mathbf{x}_o)$, temos que

$$\frac{1}{8\pi\mu} \mathbf{F} \cdot \nabla \cdot [\mathcal{G}(\mathbf{x} - \mathbf{x}_o) \cdot \boldsymbol{\sigma} - \mu \mathcal{T}(\mathbf{x} - \mathbf{x}_o) \cdot \mathbf{u}] = \delta(\mathbf{x} - \mathbf{x}_o) \mathbf{F} \cdot \mathbf{u}. \quad (\text{A-4})$$

Integrando a equação (A-4) em um volume V regular, isto é que não contém singularidades como ilustrado na figura (A.1), e aplicando o teorema da divergência de Gauss, desde que \mathbf{F} é arbitrário, obtemos

$$\int_S [\mathcal{G}(\mathbf{x} - \mathbf{x}_o) \cdot \boldsymbol{\sigma}(\mathbf{x}) - \mu \mathbf{u}(\mathbf{x}) \cdot \mathcal{T}(\mathbf{x})(\mathbf{x} - \mathbf{x}_o)] \cdot \mathbf{n}(\mathbf{x}) dS = 0. \quad (\text{A-5})$$

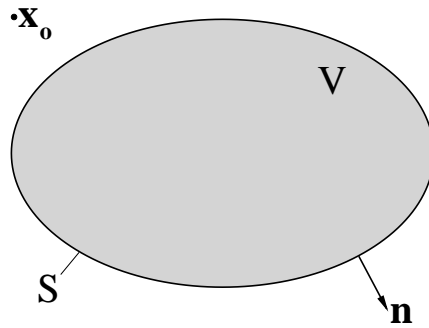


Figura A.1: Volume de controle no domínio do escoamento. O polo está na posição \mathbf{x}_o , tal que $\mathbf{x}_o \notin V$.

Se o polo está contido na região de integração, define-se um pequeno volume esférico V_ε , de raio ε , que contém o polo conforme indica a figura (A.2). Dessa forma, a equação (A-5) vale para o volume $V - V_\varepsilon$, delimitado pelas superfícies S e S_ε , isto é

$$\int_{S, S_\varepsilon} [\mathcal{G}(\mathbf{x} - \mathbf{x}_o) \cdot \boldsymbol{\sigma}(\mathbf{x}) \cdot \mathbf{n}(\mathbf{x}) - \mu \mathbf{u}(\mathbf{x}) \cdot \mathcal{T}(\mathbf{x} - \mathbf{x}_o) \cdot \mathbf{n}(\mathbf{x})] dS(\mathbf{x}) = 0. \quad (\text{A-6})$$

Sobre a superfície S_ε o vetor normal é dado por $\mathbf{n} = -\mathbf{r}/\varepsilon$, em que $\mathbf{r} = \mathbf{x} - \mathbf{x}_o$ com $\mathbf{x} \in S_\varepsilon$, $dS = \varepsilon^2 d\Omega$, em que Ω é o ângulo sólido e as funções de Green são dadas por

$$\mathcal{G}_\varepsilon(\mathbf{r}) = \frac{1}{\varepsilon} \mathbf{I} + \frac{\mathbf{r}\mathbf{r}}{\varepsilon^3} \quad \text{e} \quad \mathcal{T}_\varepsilon(\mathbf{r}) = -6 \frac{\mathbf{r}\mathbf{r}\mathbf{r}}{\varepsilon^5}. \quad (\text{A-7})$$

Usando esses resultados em (A-6) obtemos

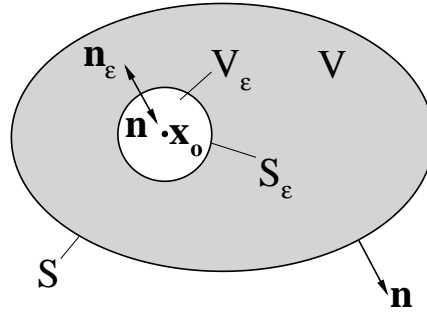


Figura A.2: Volume de controle no domínio do escoamento. O polo está na posição \mathbf{x}_o , tal que $\mathbf{x}_o \in V$.

$$\begin{aligned} & \int_S [\mathcal{G}(\mathbf{x} - \mathbf{x}_o) \cdot \boldsymbol{\sigma}(\mathbf{x}) \cdot \mathbf{n}(\mathbf{x}) - \mu \mathbf{u}(\mathbf{x}) \cdot \mathbf{T}(\mathbf{x} - \mathbf{x}_o) \cdot \mathbf{n}(\mathbf{x})] dS(\mathbf{x}) \\ & - \int_{S_\varepsilon} \left[\left(\mathbf{I} + \frac{\mathbf{r}\mathbf{r}}{\varepsilon^2} \right) \cdot \boldsymbol{\sigma}(\mathbf{x}) \cdot \mathbf{r} + 6\mu \mathbf{u}(\mathbf{x}) \cdot \frac{\mathbf{r}\mathbf{r}}{\varepsilon^2} \right] d\Omega(\mathbf{x}) = 0. \end{aligned} \quad (\text{A-8})$$

Tomando o limite $\varepsilon \rightarrow 0$ o tensor de tensões e o campo de velocidade tendem para seus respectivos valores em \mathbf{x}_o , isto é $\boldsymbol{\sigma}(\mathbf{x}) \rightarrow \boldsymbol{\sigma}(\mathbf{x}_o)$ e $\mathbf{u}(\mathbf{x}) \rightarrow \mathbf{u}(\mathbf{x}_o)$. Como $\mathbf{r} \rightarrow \mathbf{0}$, o primeiro termo da segunda integral em (A-8) anula-se, de forma que

$$\begin{aligned} & \int_S [\mathcal{G}(\mathbf{x} - \mathbf{x}_o) \cdot \boldsymbol{\sigma}(\mathbf{x}) \cdot \mathbf{n}(\mathbf{x}) - \mu \mathbf{u}(\mathbf{x}) \cdot \mathbf{T}(\mathbf{x} - \mathbf{x}_o) \cdot \mathbf{n}(\mathbf{x})] dS(\mathbf{x}) = \\ & 6\mu \mathbf{u}(\mathbf{x}_o) \cdot \lim_{\varepsilon \rightarrow 0} \frac{1}{\varepsilon^4} \int_{S_\varepsilon} \mathbf{r}\mathbf{r} dS(\mathbf{x}). \end{aligned} \quad (\text{A-9})$$

Neste ponto é importante considerar o teorema da divergência para o produto tensorial $\mathbf{r}\mathbf{r}$. Segue-se que

$$\int_{S_\varepsilon} \mathbf{r}\mathbf{r} dS = \varepsilon \int_{S_\varepsilon} \mathbf{r}\mathbf{n}_\varepsilon dS = \varepsilon \int_{V_\varepsilon} \nabla \mathbf{r} dV = \varepsilon \mathbf{I} \int_{V_\varepsilon} dV = \frac{4\pi}{3} \varepsilon^4 \mathbf{I}, \quad (\text{A-10})$$

em que \mathbf{n}_ε é o vetor normal à S_ε que aponta para fora do volume V_ε . Portanto a equação (A-9) pode ser escrita na forma

$$\begin{aligned} \mathbf{u}(\mathbf{x}_o) &= -\frac{1}{8\pi} \int_S \mathbf{u}(\mathbf{x}) \cdot \mathbf{T}(\mathbf{x} - \mathbf{x}_o) \cdot \mathbf{n}(\mathbf{x}) dS(\mathbf{x}) \\ &+ \frac{1}{8\pi\mu} \int_S \mathcal{G}(\mathbf{x} - \mathbf{x}_o) \cdot \boldsymbol{\sigma}(\mathbf{x}) \cdot \mathbf{n}(\mathbf{x}) dS(\mathbf{x}). \end{aligned} \quad (\text{A-11})$$

Os caso em que $\mathbf{x}_o \notin V$ é obtido diretamente de A-5. Se $\mathbf{x}_o \in S$ com esse procedimento é preciso combinar representações integrais do escoamento dentro e fora de V e usar a condição de salto $\mathbf{u}_s(\mathbf{x}_o) = (1/2)(\mathbf{u}(\mathbf{x}_o) + \lambda\mathbf{u}'_o)$, sabendo que a velocidade é uma função contínua através de S (ver detalhes em Cunha *et. al.* (2003^b)).

A.3

Operador adjunto da dupla camada potencial

Seja um espaço de funções vetoriais $V = \{\mathbf{v}(\mathbf{x}) : \mathbb{R}^3 \rightarrow \mathbb{R}^3; v_i \in C^0; (\mathbf{v}, \mathbf{v}) < \infty\}$, de dimensão infinita, em que C^0 é o espaço das funções contínuas, no qual está definido o produto interno

$$(\mathbf{u}, \mathbf{v}) = \int_S \mathbf{u}(\mathbf{x}) \cdot \mathbf{v}(\mathbf{x}) dS(\mathbf{x}), \quad (\text{A-12})$$

em que $\mathbf{u}, \mathbf{v} \in V$. Seja também \mathbf{L} uma aplicação linear desse espaço definida por

$$\mathbf{L} \cdot \mathbf{u} = \frac{1}{4\pi} \int_S \mathbf{u}(\mathbf{x}) \cdot \mathcal{T}(\mathbf{x} - \mathbf{x}_o) \cdot \mathbf{n}(\mathbf{x}) dS(\mathbf{x}). \quad (\text{A-13})$$

O operador linear adjunto a \mathbf{L} , denotado por \mathbf{L}^A , é definido tal que $(\mathbf{L} \cdot \mathbf{u}, \mathbf{v}) = (\mathbf{u}, \mathbf{L}^A \cdot \mathbf{v})$. Dessa forma, para obter uma expressão para \mathbf{L}^A fazemos

$$\begin{aligned} (\mathbf{L} \cdot \mathbf{u}, \mathbf{v}) &= \int_S \left[\frac{1}{4\pi} \int_S \mathbf{u}(\mathbf{x}) \cdot \mathcal{T}(\mathbf{x} - \mathbf{x}_o) \cdot \mathbf{n}(\mathbf{x}) dS(\mathbf{x}) \right] \cdot \mathbf{v}(\mathbf{x}_o) dS(\mathbf{x}_o) \\ &= \frac{1}{4\pi} \int_S \int_S \mathbf{u}(\mathbf{x}) \cdot \mathcal{T}(\mathbf{x} - \mathbf{x}_o) \cdot \mathbf{n}(\mathbf{x}) \cdot \mathbf{v}(\mathbf{x}_o) dS(\mathbf{x}) dS(\mathbf{x}_o) \\ &= \frac{1}{4\pi} \int_S \int_S \mathbf{u}(\mathbf{x}) \cdot \mathcal{T}(\mathbf{x} - \mathbf{x}_o) \cdot \mathbf{v}(\mathbf{x}_o) \cdot \mathbf{n}(\mathbf{x}) dS(\mathbf{x}_o) dS(\mathbf{x}) \\ &= \int_S \mathbf{u}(\mathbf{x}) \cdot \left[\frac{1}{4\pi} \int_S \mathcal{T}(\mathbf{x} - \mathbf{x}_o) \cdot \mathbf{v}(\mathbf{x}_o) dS(\mathbf{x}_o) \right] \cdot \mathbf{n}(\mathbf{x}) dS(\mathbf{x}). \end{aligned}$$

Usando as propriedades de simetria em relação ao produto escalar escrevemos

$$(\mathbf{L} \cdot \mathbf{u}, \mathbf{v}) = \int_S \mathbf{u}(\mathbf{x}) \cdot \mathbf{n}(\mathbf{x}) \cdot \left[\frac{1}{4\pi} \int_S \mathbf{v}(\mathbf{x}_o) \cdot \mathcal{T}(\mathbf{x} - \mathbf{x}_o) dS(\mathbf{x}_o) \right] dS(\mathbf{x}).$$

Finalmente, comutando \mathbf{x} e \mathbf{x}_o e usando a simetria ímpar de \mathcal{T}

$$\begin{aligned} (\mathbf{L} \cdot \mathbf{u}, \mathbf{v}) &= \int_S \mathbf{u}(\mathbf{x}_o) \cdot \mathbf{n}(\mathbf{x}_o) \cdot \left[-\frac{1}{4\pi} \int_S \mathbf{v}(\mathbf{x}) \cdot \mathcal{T}(\mathbf{x} - \mathbf{x}_o) dS(\mathbf{x}) \right] dS(\mathbf{x}_o) \\ &= \left(\mathbf{u}, \mathbf{n}(\mathbf{x}_o) \cdot \left[-\frac{1}{4\pi} \int_S \mathbf{v}(\mathbf{x}) \cdot \mathcal{T}(\mathbf{x} - \mathbf{x}_o) dS(\mathbf{x}) \right] \right) = (\mathbf{u}, \mathbf{L}^A \cdot \mathbf{v}), \end{aligned}$$

de forma que

$$\mathbf{L}^A \cdot \mathbf{v} = -\frac{1}{4\pi} \mathbf{n}(\mathbf{x}_o) \cdot \int_S \mathbf{v}(\mathbf{x}) \cdot \boldsymbol{\mathcal{T}}(\mathbf{x} - \mathbf{x}_o) dS(\mathbf{x}). \quad (\text{A-14})$$

A.4

Equação constitutiva para o salto de tensões através de uma interface entre dois líquidos

A origem física da tensão superficial está na tendência de uma superfície líquida (quer seja entre um líquido e um gás como entre um líquido e outro líquido) em se contrair espontaneamente, tendendo a admitir a configuração de mínima área (Adam, 1968). Para entender esse fato, consideremos inicialmente que em um líquido distingue-se de um gás pelo fato de suas moléculas atraírem-se mutuamente com intensidade suficiente para impedir a vaporização. Ainda assim, as moléculas de um líquido são relativamente livres para rotacionar e transladar umas em relação às outras. Dessa forma, no interior de um líquido as moléculas estão sujeitas à forças atrativas em todas as direções. Porém, na interface entre dois líquidos imiscíveis ou entre um líquido e um gás, as partículas são atraídas por suas vizinhas para dentro do fluido. Nessa condição, uma molécula sofre uma força perpendicular à interface que a faz mover-se para o interior. Portanto, as moléculas em uma interface líquida estão sempre movimentando-se para o dentro do fluido, produzindo um efeito de redução da área da superfície que delimita o material. A contração espontânea da superfície pode ser interpretada como um energia livre associada a um trabalho de exercido pela interface. Na solução de muitos problemas envolvendo interfaces fluidas, essa energia livre por unidade de área da superfície é substituída por uma “tensão superficial” atuando em todas as direções paralelas à superfície. Levando isso em conta, podemos conceber um modelo em que a interface exerce uma determinada tensão sobre o fluido. Dessa forma, existe um salto de tensões $\Delta \mathbf{f}$ através da superfície. Sendo assim, considerando que a interface esteja em equilíbrio mecânico, o balanço de forças sobre a superfície pode ser modelado por

$$\int_S \Delta \mathbf{f} dS - \int_C \sigma(\mathbf{n} \times \mathbf{t}) d\ell = \mathbf{0}, \quad (\text{A-15})$$

em que σ é um coeficiente de tensão superficial com dimensão de tensão por unidade de comprimento e $\mathbf{b} = (\mathbf{t} \times \mathbf{n})$ é o vetor binormal da superfície S , cujo contorno é C . Levando em conta a seguinte forma do teorema de Stokes:

$$\int_C \mathbf{F} \times \mathbf{t} d\ell = \int_S [\mathbf{n} \nabla \cdot \mathbf{F} - \nabla \cdot \mathbf{F} \cdot \mathbf{n}] dS, \quad (\text{A-16})$$

em que \mathbf{F} é um vetor qualquer e \mathbf{n} é diferenciável em toda superfície S . Fazendo $\mathbf{F} = \sigma\mathbf{n}$, a equação (A-15) pode ser escrita como

$$\int_S \Delta \mathbf{f} dS = \int_S [\mathbf{n} \nabla \cdot (\sigma \mathbf{n}) - \nabla(\sigma \mathbf{n}) \cdot \mathbf{n}] dS. \quad (\text{A-17})$$

Inicialmente temos que $\mathbf{n} \nabla \cdot (\sigma \mathbf{n}) = (\sigma \nabla \cdot \mathbf{n})\mathbf{n} + \mathbf{n} \mathbf{n} \cdot \nabla \sigma$. Por outro, sabendo que $\nabla(\sigma \mathbf{n}) \cdot \mathbf{n} = (\nabla \sigma \mathbf{n} + \sigma \nabla \mathbf{n}) \cdot \mathbf{n}$ e que $\nabla \mathbf{n} \cdot \mathbf{n} = (1/2)\nabla(\mathbf{n} \cdot \mathbf{n}) = \mathbf{0}$, desde que $\mathbf{n} \cdot \mathbf{n} = 1$, temos que $\nabla(\sigma \mathbf{n}) \cdot \mathbf{n} = \nabla \sigma$. Portanto, a equação (A-17) reduz-se a

$$\int_S \Delta \mathbf{f} dS = \int_S [(\sigma \nabla \cdot \mathbf{n})\mathbf{n} + \mathbf{n} \mathbf{n} \cdot \nabla \sigma - \nabla \sigma] dS. \quad (\text{A-18})$$

Desde que S é arbitrária, pelo teorema da localização segue que

$$\Delta \mathbf{f} = (\sigma \nabla \cdot \mathbf{n})\mathbf{n} - (\mathbf{I} - \mathbf{n} \mathbf{n}) \cdot \nabla \sigma. \quad (\text{A-19})$$

Na equação (A-19) podemos observar as contribuições normal, $(\sigma \nabla \cdot \mathbf{n})\mathbf{n}$, e tangencial, $(\mathbf{I} - \mathbf{n} \mathbf{n}) \cdot \nabla \sigma$, do salto de tensões através da superfície. O vetor gradiente deve ser entendido como o gradiente superficial, desde que as integrais em (A-18) são sobre a superfície S . Nota-se que apenas há salto de tensões tangenciais se existe gradiente de σ . Tipicamente esses gradientes estão associados a distribuições de tensoativos ou variações de temperatura sobre a interface.

B**Coeficientes de Fourier de I_1 e I_2 no regime de pequenas amplitudes de deformação**

Considerando as expansões em série de Fourier para as integrais I_1 e I_2 da seção 4.4 temos que

$$\begin{aligned} I_1(\gamma_o, t) &= a_0 + a_2 \cos(2\omega t) + b_2 \sin(2\omega t) + a_4 \cos(4\omega t) + b_4 \sin(4\omega t), \\ I_2(\gamma_o, t) &= a_1 \cos(\omega t) + b_1 \sin(\omega t) + a_3 \cos(3\omega t) + b_3 \sin(3\omega t), \end{aligned} \quad (\text{B-1})$$

sendo

$$\begin{aligned} a_0 &= \left(\frac{1}{c}\right) - \left(\frac{1}{2c}\right) \left(1 - \frac{1}{c_1}\right) \gamma_o^2 + \left(\frac{1}{8c}\right) \left(-\frac{1}{c_1} + \frac{1}{4c_2} + \frac{3}{4}\right) \gamma_o^4, \\ a_1 &= \left(\frac{\omega}{c^2}\right) \left(\frac{1}{c_1}\right) \gamma_o + \left(\frac{\omega}{c^2}\right) \left(-\frac{1}{c_1} + \frac{1}{c_2}\right) \gamma_o^3, \\ a_2 &= \left(\frac{1}{2c}\right) \left(\frac{1}{2} - \frac{1}{c_1} + \frac{1}{2c_2}\right) \gamma_o^2 + \left(\frac{1}{12c}\right) \left(\frac{7}{4c_1} - \frac{1}{c_2} + \frac{1}{4c_3} - 1\right) \gamma_o^4, \\ a_3 &= \left(\frac{\omega}{4c^2}\right) \left(\frac{1}{2c_1} - \frac{1}{c_2} + \frac{1}{2c_3}\right) \gamma_o^3, \\ a_4 &= \left(\frac{1}{48c}\right) \left(\frac{1}{4} - \frac{1}{c_1} + \frac{3}{2c_2} - \frac{1}{c_3} + \frac{1}{4c_4}\right) \gamma_o^4, \\ b_1 &= \left(\frac{1}{c}\right) \left(1 - \frac{1}{c_1}\right) \gamma_o + \left(\frac{1}{2c}\right) \left(-\frac{3}{4} + \frac{1}{c_1} - \frac{1}{4c_2}\right) \gamma_o^3, \\ b_2 &= \left(\frac{\omega}{2c^2}\right) \left(\frac{1}{c_2} - \frac{1}{c_1}\right) \gamma_o^2 + \left(\frac{\omega}{6c^2}\right) \left(\frac{5}{8c_1} - \frac{1}{c_2} + \frac{3}{8c_3}\right) \gamma_o^4, \\ b_3 &= \left(\frac{1}{8c}\right) \left(\frac{1}{3} - \frac{1}{c_1} + \frac{1}{c_2} - \frac{1}{3c_3}\right) \gamma_o^3, \\ b_4 &= \left(\frac{1}{16c^2}\right) \left(-\frac{1}{3c_1} + \frac{1}{c_2} - \frac{1}{c_3} + \frac{1}{3c_4}\right) \gamma_o^4, \end{aligned} \quad (\text{B-2})$$

em que $c_n = 1 + n^2\omega^2/c^2$ e $n = 1, \dots, 4$.

C**Funções materiais da emulsão em cisalhamento oscilatório**

Considerando os coeficientes de Fourier a_i e b_i do apêndice C, as funções viscométricas associadas à resposta em tensão de uma emulsão diluída de gotas de alta razão de viscosidade são dadas por

$$\begin{aligned}\mu_{ap} &= \eta'_i \cos(\omega t) + \eta''_i \sin(\omega t) \\ &+ \eta'_{iii} \cos(3\omega t) + \eta''_{iii} \sin(3\omega t),\end{aligned}\quad (\text{C-1})$$

em que

$$\begin{aligned}\eta'_i &= \mu_B + \frac{5c\phi}{\lambda Ca_\lambda} a_1, \quad \eta''_i = \frac{5c\phi}{\lambda Ca_\lambda} b_1, \\ \eta'_{iii} &= \frac{5c\phi}{\lambda Ca_\lambda} a_3, \quad \eta''_{iii} = \frac{5c\phi}{\lambda Ca_\lambda} b_3.\end{aligned}\quad (\text{C-2})$$

$$\begin{aligned}N_1 &= N_1^o + \chi'_{ii} \cos(2\omega t) + \chi''_{ii} \sin(2\omega t) \\ &+ \chi'_{iv} \cos(4\omega t) + \chi''_{iv} \sin(4\omega t),\end{aligned}\quad (\text{C-3})$$

em que

$$\begin{aligned}N_1^o &= \frac{10\phi}{\lambda} (1 - c a_0), \\ \chi'_{ii} &= -\frac{10c\phi}{\lambda} a_2, \quad \chi''_{ii} = -\frac{10c\phi}{\lambda} b_2, \\ \chi'_{iv} &= -\frac{10c\phi}{\lambda} a_4, \quad \chi''_{iv} = -\frac{10c\phi}{\lambda} b_4.\end{aligned}\quad (\text{C-4})$$

$$\begin{aligned} N_2 &= N_2^o + \zeta'_{ii} \cos(2\omega t) + \zeta''_{ii} \sin(2\omega t) \\ &+ \zeta'_{iv} \cos(4\omega t) + \zeta''_{iv} \sin(4\omega t), \end{aligned} \quad (\text{C-5})$$

em que

$$\begin{aligned} N_2^o &= \frac{5\phi}{\lambda}(ca_o - 1) + \frac{75c\phi}{56\lambda} Ca_\lambda a_1, \\ \zeta'_{ii} &= \frac{5c\phi}{\lambda} a_2 + \frac{75c\phi}{56\lambda} Ca_\lambda(a_1 + a_3), \\ \zeta''_{ii} &= \frac{5c\phi}{\lambda} b_2 + \frac{75c\phi}{56\lambda} Ca_\lambda(b_1 + b_3), \\ \zeta'_{iv} &= \frac{5c\phi}{\lambda} a_1 + \frac{75c\phi}{56\lambda} Ca_\lambda a_3, \\ \zeta''_{iv} &= \frac{5c\phi}{\lambda} b_1 + \frac{75c\phi}{56\lambda} Ca_\lambda b_3. \end{aligned} \quad (\text{C-6})$$